

УДК 539.3

ИССЛЕДОВАНИЕ КОСЫХ СОУДАРЕНИЙ
МЕТАЛЛИЧЕСКИХ ПЛАСТИН
В УПРУГОЙ ПОСТАНОВКЕ

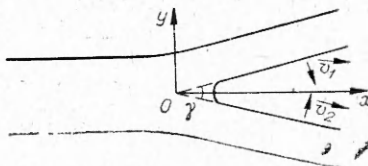
В. В. ЕФРЕМОВ

(Новосибирск)

В последнее время в связи с исследованием различных процессов обработки материалов взрывом [1] повысился интерес к исследованию соударений твердых тел, в частности металлов, со скоростями порядка нескольких сот метров в секунду. Новые физические явления, например волнообразование на контактных поверхностях, наблюдаются в случае косых соударений, когда точка контакта движется с определенной скоростью вдоль контактных поверхностей. Для теоретических исследований используются гидродинамические модели, обзор которых приведен в [1]. При этом металлы считаются идеальными жидкостями, подобно задачам о кумуляции [2]. Использование гидродинамических расчетных схем позволяет рассчитывать величину давления в окрестности точки контакта; полученные расчетные величины используются в различных задачах сварки взрывом [1]. В то же время исследования некоторых новых явлений показали недостаточность использования гидродинамической модели, в частности, имеются основания полагать, что в процессах, связанных с изменением свойств металла вблизи зоны соударения, существенную роль играют величина касательных напряжений и время их существования.

В данной работе предпринята попытка исследовать другой крайний случай по сравнению с гидродинамической моделью — рассмотреть задачу о косом соударении пластин в рамках линейной теории упругости. Единственной известной нам попыткой использовать этот подход к задачам сварки взрывом является работа [3], в которой решение задачи о соударении в упругой постановке используется для объяснения процесса волнообразования при сварке взрывом. При этом толщина сталкивающихся пластин считалась бесконечно большой, а скорость точки контакта предполагалась больше скорости распространения продольных волн в материале. В данной работе упругая задача будет рассмотрена в существенно более общей постановке.

1. Постановка задачи. Пусть две упругие пластины движутся навстречу друг другу: \vec{v}_1 — скорость верхней пластины, \vec{v}_2 — скорость нижней пластины, направления их перпендикулярны поверхностям пластин. В результате соударения пластины соединяются, как показано на фиг. 1. Для упрощения задачи пластины будем считать состоящими из одного и того же материала и имеющими равные толщины h , а соударение — симметричным. Далеко справа от зоны соударения (см. фиг. 1) пластины можно считать плоскими и имеющими постоянные скорости, равные скоростям метания v_1 и v_2 соответственно. Следует заметить, что в некоторых режимах соударения пластины возможно существование упругих волн, движущихся быстрее зоны контакта и не затухающих на больших расстояниях. Подобные волны, возникающие при движении нагрузки по поверхности упругой пластины конечной толщины, изучались в работе [4]. Однако в этом случае далеко от зоны контакта поверхности пластин можно пред-



Фиг. 1

ставить колеблющимися около некоторых «главных поверхностей», которые движутся с постоянными скоростями метания \vec{v}_1 и \vec{v}_2 . Поэтому в дальнейшем, если не будет оговорено специально, под скоростью пластины на бесконечности будет пониматься скорость именно таких «главных поверхностей».

Продолжим внутренние поверхности пластин таким образом, как это показано на фиг. 1. В плоскости рисунка их пересечение дает точку 0, которую назовем точкой контакта. Угол γ , образовавшийся в результате пересечения плоскостей, назовем углом соударения. Величина скорости точки контакта V в том случае, когда скорости метания направлены по нормали к пластинам и равны по величине, будет определяться следующим выражением:

$$(1.1) \quad V = \frac{|\vec{v}_1|}{\sin \gamma/2} = \frac{|\vec{v}_0|}{\sin \gamma/2} - \frac{v_0}{\sin \gamma/2}.$$

Удобно анализировать процесс соударения в системе координат, связанной с точкой контакта. Начало координат поместим в точку контакта, а ось x направим вдоль биссектрисы угла соударения. Для исключения из задачи краевых эффектов будем считать пластины достаточно длинными, а сам процесс соударения — стационарным.

Рассмотрим наиболее характерный для большинства режимов сварки взрывом случай, когда две пластины соударяются под малым углом [1]. В предположении малости углов соударения можно решать задачу о столкновении, не принимая во внимание изменение формы границы пластин. Будем считать, что верхняя граница представляет собой прямую $y=h$, нижняя — прямую $y=-h$, а угол соударения представляется разрезом, проходящим по оси x от начала координат до бесконечности. Подобная идеализация рассматриваемой задачи в схеме идеальной жидкости рассмотрена в работе [1].

Границные условия и условия на бесконечности записываются следующим образом:

$$(1.2) \quad \begin{aligned} \sigma_{22} = \sigma_{12} = 0, & \quad (y=h, -\infty < x < \infty), \\ \sigma_{22} = \sigma_{12} = 0, & \quad (y=0, 0 < x < \infty), \\ \sigma_{22} = \sigma_{12} = 0, & \quad (y=-h, -\infty < x < \infty), \end{aligned}$$

$$(1.3) \quad \begin{aligned} u=0, v=0, & \quad (x=-\infty), \\ u=0, v=-v_0 \cos \gamma/2, & \quad (x=\infty, y>0), \\ u=0, v=v_0 \cos \gamma/2, & \quad (x=\infty, y<0). \end{aligned}$$

Здесь σ_{ik} — компоненты тензора напряжений; u , v — компоненты вектора скорости смещения по осям x и y соответственно. В точке контакта предполагается существование интегрируемой особенности как для σ_{ik} , так и для u и v .

Чтобы получить выражения компонент тензора напряжений σ_{ik} и вектора скорости смещения u , v , воспользуемся скалярным ϕ и векторным ψ потенциалами. Эти потенциалы удовлетворяют уравнениям

$$(1.4) \quad \begin{aligned} \left(1 - \frac{\rho V^2}{K + \frac{4}{3}\mu}\right) \frac{\partial^2 \phi}{\partial x^2} + \frac{\partial^2 \phi}{\partial y^2} &= 0, \\ \left(1 - \frac{\rho V^2}{\mu}\right) \frac{\partial^2 \psi}{\partial x^2} + \frac{\partial^2 \psi}{\partial y^2} &= 0, \end{aligned}$$

где K и μ — модули всестороннего сжатия и сдвига; ρ — плотность материала.

Из вида уравнений (1.4) следует, что картина соударения существенно зависит от величины скорости точки контакта V . Если последняя превы-

шает скорость продольных волн $c_1 = \sqrt{\frac{K + \frac{4}{3}\mu}{\rho}}$, возникает ситуация, которую естественно называть сверхзвуковым течением. В этом случае система уравнений (1.4) является гиперболической и допускает отыскание решений методом характеристик. Другой случай — межзвуковое движение возникает, когда скорость V меньше скорости продольных волн c_1 и больше скорости поперечных волн $c_2 = \sqrt{\frac{\mu}{\rho}}$. При этом условии первое уравнение (1.4) является эллиптическим, а второе — гиперболическим. Наконец, последний случай — дозвуковое движение осуществляется, если скорость точки контакта V меньше скорости поперечных волн c_2 . В этом режиме соударения система уравнений (1.4) является эллиптической.

2. Соударение пластин в дозвуковом режиме. Решение поставленной выше задачи в случае дозвукового соударения будем искать методом Фурье в сочетании с методом Винера-Хопфа. Обозначим через $f_1(k, y)$, $f_2(k, y)$ фурье-образы потенциалов φ и ψ соответственно, через σ_{22}^0 — напряжение, действующее на границе раздела материалов. Кроме того, введем обозначения

$$(2.1) \quad p(k) = \frac{V}{2\mu} \int_{-\infty}^0 \sigma_{22}^0(x) e^{ikx} dx;$$

$$(2.2) \quad b(k) = 2 \int_0^\infty v(x, 0) e^{ikx} dx;$$

$$\lambda_1 = \sqrt{1 - \frac{\rho V^2}{\mu}}; \quad \lambda_2 = \sqrt{1 - \frac{\rho V^2}{K + \frac{4}{3}\mu}}; \quad \delta = 1 - \frac{\rho V^2}{2\mu}.$$

Решая уравнения (1.4) с граничными условиями (1.2), получим для фурье-образов потенциалов выражения

$$(2.3) \quad f_1(k, y) = -\frac{p(k)}{V k^2 I(k)} [\delta^3 \operatorname{sh}(k\lambda_1 h) \operatorname{sh}(k\lambda_2(h-y)) - \lambda_1 \lambda_2 \delta \operatorname{ch}(k\lambda_1 h) \operatorname{ch}(k\lambda_2(h-y)) + \lambda_1 \lambda_2 \delta \operatorname{ch}(k\lambda_2 y)];$$

$$f_2(k, y) = \frac{i p(k)}{\lambda_1 V k^2 I(k)} [-\lambda_1^2 \lambda_2^2 \operatorname{sh}(k\lambda_2 h) \operatorname{ch}(k\lambda_1(h-y)) + \delta^2 \lambda_1 \lambda_2 \operatorname{sh}(k\lambda_1 y)];$$

$$I(k) = (\delta^4 + \lambda_1^2 \lambda_2^2) \operatorname{sh}(k\lambda_1 h) \operatorname{sh}(k\lambda_2 h) + 2\delta^2 \lambda_1 \lambda_2 - 2\delta^2 \lambda_1 \lambda_2 \operatorname{ch}(k\lambda_1 h) \operatorname{ch}(k\lambda_2 h).$$

Учитывая неразрывность напряжений и скоростей на границе раздела материалов, получим уравнение Винера-Хопфа

$$(2.4) \quad b(k) = \frac{2i\lambda_2(\delta - 1) p(k)}{I(k)} [\lambda_1 \lambda_2 \operatorname{sh}(k\lambda_2 h) \operatorname{ch}(k\lambda_1 h) - \delta^2 \operatorname{ch}(k\lambda_2 h) \operatorname{sh}(k\lambda_1 h)].$$

Обратимся теперь к исследованию аналитических свойств функций $p(k)$ и $b(k)$, определенных интегралами (2.1) и (2.2), с целью обосновать возможность решения уравнения (2.4) для двух неизвестных функций $p(k)$ и $b(k)$ методом Винера-Хопфа.

Из теории нестационарных упругих волн [4] известно, что нагрузка, движущаяся по поверхности упругой пластины, может излучать незатухающую упругую волну с фазовой скоростью, равной скорости нагрузки. При этом, если скорость нагрузки меньше скорости релеевских волн в материале, то групповая скорость излученной упругой волны будет больше фазовой, в противном случае — наоборот. В стационарной постановке задачи это означает, что в режиме, когда скорость точки контакта V меньше скорости релеевских волн c_R , далеко впереди точки контакта напряжения в полосе ограничены и имеют осциллирующий вид, в то же время далеко позади точки контакта напряжения затухают экспоненциально по мере удаления от начала координат, причем показатель экспоненты зависит от толщины пластины. В режиме, при котором $V > c_R$, ситуация меняется на обратную: позади точки контакта имеется незатухающая упругая волна, а впереди — напряжения экспоненциально затухают.

Из сказанного выше следует, что интеграл (2.1) в случае $V < c_R$ определяет функцию $p(k)$ в полуплоскости $\text{Im}(k) < \eta$, где $\eta > 0$, и зависит от скорости затухания напряжений на бесконечности. Интеграл (3.2) в свою очередь определяет функцию $b(k)$ в полуплоскости $\text{Im}(k) \geq 0$ за исключением нескольких точек на действительной оси. Следовательно, уравнение Винера-Хопфа (2.4) справедливо в некоторой полосе плоскости k . Несмотря на то, что эта полоса не охватывает полностью действительную ось комплексной плоскости k , уравнение (2.4) можно решить методом Винера-Хопфа, так как в случае мероморфных функций удается исключить особые точки из желаемой полосы регулярности путем переопределения функций. В режиме соударения, когда $c_R < V < c_2$, обоснование возможности решения уравнения проводится аналогичным образом.

Обозначим теперь через z_m, z_j, k_n соответственно корни уравнений

$$(2.5) \quad A(k) = \lambda_1 \lambda_2 \operatorname{sh}(k\lambda_2 h) \cdot \operatorname{ch}(k\lambda_1 h) - \delta^2 \operatorname{ch}(k\lambda_2 h) \operatorname{sh}(k\lambda_1 h) = 0;$$

$$(2.6) \quad B(k) = \lambda_1 \lambda_2 \operatorname{ch}(k\lambda_2 h) \operatorname{sh}(k\lambda_1 h) - \delta^2 \operatorname{sh}(k\lambda_2 h) \cdot \operatorname{ch}(k\lambda_1 h) = 0;$$

$$(2.7) \quad I(k) = 4 \cdot A\left(\frac{k}{2}\right) \cdot B\left(\frac{k}{2}\right) = 0,$$

лежащие в верхней полуплоскости комплексной переменной k , не включающей действительной оси. Через z_0, z_{∞}, k_0 обозначим корни соответствующих уравнений (2.5), (2.6), (2.7), лежащие на действительной оси. Тогда из уравнения (2.4), учитывая сказанное выше об особых точках на действительной оси, получим соотношения

$$(2.8) \quad p(k) \frac{\prod_{m=1}^{\infty} \left(1 - \frac{k}{z_m}\right) e^{\frac{k}{z_m}}}{\prod_{n=1}^{\infty} \left(1 - \frac{k}{k_n}\right) e^{\frac{k}{k_n}}} = -b(k) \frac{\prod_{n=1}^{\infty} \left(1 + \frac{k}{k_n}\right) e^{-\frac{k}{k_n}}}{\prod_{m=1}^{\infty} \left(1 + \frac{k}{z_m}\right) e^{-\frac{k}{z_m}}} \times \\ \times \frac{i h (\lambda_1^2 - \delta^2) k}{2(\delta - 1)} \left(1 - \frac{k^2}{k_0^2}\right) = p_1(k), \text{ если } \frac{\lambda_1 \lambda_2}{\delta^2} > 1;$$

$$p(k) \frac{\left(1 - \frac{k^2}{z_0^2}\right) \prod_{m=1}^{\infty} \left(1 - \frac{k}{z_m}\right) e^{\frac{h}{z_m}}}{\left(1 - \frac{k^2}{k_0^2}\right) \prod_{n=1}^{\infty} \left(1 - \frac{k}{k_n}\right) e^{\frac{h}{k_n}}} = -b(k) \frac{\prod_{n=1}^{\infty} \left(1 + \frac{k}{k_n}\right) e^{-\frac{h}{k_n}}}{\prod_{m=1}^{\infty} \left(1 + \frac{k}{z_m}\right) e^{-\frac{h}{z_m}}} \times \\ \times \frac{i h (\lambda_1^2 - \delta^2) k}{2(\delta - 1)} = p_1(k), \text{ если } \frac{\lambda_1 \lambda_2}{\delta^2} < 1.$$

Здесь $p_1(k)$ — неизвестная целая функция; знак $\prod_{n=1}^{\infty}$ обозначает бесконечное произведение, вычисленное по всем соответствующим корням z_m, k_n .

В силу предположения о существовании интегрируемой особенности в точке контакта функции $p(k)$ и $b(k)$ должны убывать к нулю при $|k| \rightarrow \infty$ в области их определения. В то же время отношение бесконечных произведений в (2.8) будет возрастать не быстрее экспоненты при больших $|k|$. Рассматривая асимптотику произведения функций $p(k)b(-k)$ в области их определения при $|k| \rightarrow \infty$, можно получить, что

$$(2.9) \quad p(k) \rightarrow (i - 1) \frac{C_1 k_0}{V^k} \sqrt{\frac{\lambda_1 \lambda_2 - \delta^2}{2h \lambda_2 (\delta^2 - \lambda_1^2)}}, \\ b(k) \rightarrow (1 + i) \frac{2(\delta - 1) C_1 k_0}{h (\lambda_1^2 - \delta^2) V^k} \sqrt{\frac{h \lambda_2 (\delta^2 - \lambda_1^2)}{2(\lambda_1 \lambda_2 - \delta^2)}},$$

как это следует из (2.8). Тогда, воспользовавшись теоремой Лиувилля, можно доказать, что функция $p_1(k)$ имеет вид

$$(2.10) \quad p_1(k) = (C_1 k + C_2) e^{C_3 k} \text{ для } \lambda_1 \lambda_2 > \delta^2; \\ p_1(k) = C_4 e^{C_5 k} \text{ для } \lambda_1 \lambda_2 < \delta^2.$$

Чтобы определить постоянные C_3 и C_5 , надо исследовать асимптотику бесконечных произведений, входящих в выражение (2.8), а затем выбрать такие значения для C_3 и C_5 , чтобы асимптотика $p(k)$ не имела осциллирующих членов и убывала при $|k| \rightarrow \infty$. Значения постоянных C_2 и C_4 можно определить из условия, что скорости пластин далеко впереди точки контакта равны скоростям метания:

$$(2.11) \quad C_2 = C_4 = -\frac{v_0 \cos(\gamma/2) h (\lambda_1^2 - \delta^2)}{\delta - 1}.$$

Заметим, что, если интегралы (2.1) и (2.2) имеют асимптотический вид типа (2.9), то напряжения σ_{22}^0 вблизи точки контакта на продолжении разреза определяются соотношением

$$(2.12) \quad \sigma_{22}^0 = \frac{2i \mu C_1 k_0}{V V^{-x}} \sqrt{\frac{\lambda_1 \lambda_2 - \delta^2}{\pi h \lambda_2 (\delta^2 - \lambda_1^2)}},$$

а упругие смещения берегов разреза вблизи начала координат равны

$$Y(x) = -\frac{2i(\delta - 1) C_1 k_0}{h V (\lambda_1^2 - \delta^2)} \sqrt{\frac{h \lambda_2 (\delta^2 - \lambda_1^2)}{\pi (\lambda_1 \lambda_2 - \delta^2)}} V^{-x}.$$

Пусть в некоторый момент времени к берегам разреза прикладываются равные по величине и противоположные по направлению напряжения

$$\sigma_{22} = \frac{2i\mu C_1 k_0}{V V \pi (\Delta l - x)} \sqrt{\frac{\lambda_1 \lambda_2 - \delta^2}{h \lambda_2 (\delta^2 - \lambda_1^2)}},$$

действующие на конечном отрезке длиной Δl . В результате такой нагрузки берега разреза сходятся вместе и соединяются таким образом, словно точка контакта переместилась на расстояние Δl от своего прежнего положения. При этом приложенные нагрузки совершают работу, отличную от нуля и равную

$$(2.13) \quad A' = 2 \cdot \frac{1}{2} \int_0^{\Delta l} \frac{4(\delta - 1) C_1^2 k_0^2 \mu}{\pi h V^2 (\lambda_1^2 - \delta^2)} \sqrt{\frac{x}{\Delta l - x}} dx = -\frac{\rho C_1^2 k_0^2 \Delta l}{h (\lambda_1^2 - \delta^2)}.$$

Таким образом показано, что решение уравнения (2.4), содержащее отличную от нуля постоянную C_1 , соответствует решению задачи о соударении упругих пластин с поглощением энергии, происходящим в точке контакта. В действительном процессе сварки взрывом таким «поглотителем энергии» могут служить небольшая пластическая зона, примыкающая к точке контакта, процессы, связанные с поверхностным трением и т. д. Для определения величины энергии U , которая теряется при сваривании единицы длины пластин, необходимы дополнительные исследования. После определения величины U постоянную C_1 можно вычислить с помощью соотношения

$$(2.14) \quad U = -\frac{\rho C_1^2 k_0^2}{h (\lambda_1^2 - \delta^2)}.$$

Подобный прием нахождения постоянной использовался в работе [7] для определения коэффициента интенсивности напряжений вблизи вершины стационарной трещины в бесконечном материале.

Пользуясь выражениями (2.8), содержащими бесконечные произведения, весьма затруднительно, однако трудности значительно уменьшаются, если считать отношение λ_1/λ_2 рациональным числом n/l , где n и l — произвольные положительные нечетные числа. Тогда корни уравнений (2.5)–(2.7) имеют периодическую структуру, и бесконечные произведения удается представить гамма-функциями, а именно: если $\eta_1, \eta_2, \dots, \eta_{\frac{n+l-4}{2}}, \left(-\frac{\pi i}{2} + \beta\right)$ — корни уравнения $A\left(\frac{\eta n}{\lambda_1 h}\right) = 0$, расположенные в полосе $0 > \operatorname{Im} \eta \geqslant -\frac{\pi}{2}$, и β — действительное число, то выражения для $p(k)$ будут иметь вид

$$(2.15) \quad p(k) = \frac{\rho v_0 V^2 h \beta \cos(\gamma/2)}{\pi^{3/2} \mu} \sqrt{\frac{\lambda_1 \lambda_2 - \delta^2}{l (\delta^2 - \lambda_1^2)}} 2^{-\frac{i h (\lambda_1 + \lambda_2)}{\pi}} \cdot \Phi(k) \times \\ \times \frac{\Gamma\left(\frac{1}{2} - \frac{ik\lambda_1 h}{n\pi}\right)}{\Gamma\left(1 - \frac{ik\lambda_1 h}{n\pi}\right)} \prod_{j=1}^{\frac{l+n-4}{2}} \frac{\Gamma\left(\frac{i\eta_j}{\pi} - \frac{ik\lambda_1 h}{n\pi}\right) \Gamma\left(1 - \frac{i\eta_j}{\pi} - \frac{ik\lambda_1 h}{n\pi}\right)}{\Gamma\left(\frac{2i\eta_j}{\pi} - \frac{ik\lambda_1 h}{n\pi}\right) \Gamma\left(1 - \frac{2i\eta_j}{\pi} - \frac{ik\lambda_1 h}{n\pi}\right)};$$

если $\lambda_1 \lambda_2 < \delta^2$, то

$$\Phi(k) = \left(\frac{2C_1 \mu k}{\rho v_0 V^2 h \cos(\gamma/2)} - 1 \right) e^{C_1 k} \frac{\Gamma\left(\frac{1}{2} - \frac{i\beta}{\pi} - \frac{ik\lambda_1 h}{n\pi}\right)}{\Gamma\left(\frac{1}{2} - \frac{2i\beta}{\pi} - \frac{ik\lambda_1 h}{n\pi}\right)} \times$$

$$\times \frac{\Gamma\left(\frac{1}{2} + \frac{i\beta}{\pi} - \frac{ik\lambda_1 h}{n\pi}\right)}{\Gamma\left(1 + \frac{2i\beta}{\pi} - \frac{ik\lambda_1 h}{n\pi}\right)};$$

если $\lambda_1 \lambda_2 < \delta^2$, то

$$\Phi(k) = \frac{\pi}{4i\beta} e^{C_5 k} \frac{\Gamma\left(-\frac{i\beta}{\pi} - \frac{ik\lambda_1 h}{n\pi}\right) \Gamma\left(\frac{i\beta}{\pi} - \frac{ik\lambda_1 h}{n\pi}\right)}{\Gamma\left(-\frac{2i\beta}{\pi} - \frac{ik\lambda_1 h}{n\pi}\right) \Gamma\left(\frac{2i\beta}{\pi} - \frac{ik\lambda_1 h}{n\pi}\right)}.$$

Исследуя асимптотическое поведение функций (2.1) при больших $|k|$, можно заметить, что функция $p(k)$ имеет асимптотику степенного вида только в том случае, если

$$C_3 = C_5 = \frac{i(\lambda_1 + \lambda_2) \ln 2}{\pi}.$$

Таким образом, мы не только привели формулы, определяющие $p(k)$, к более удобному виду, но и вычислили значения постоянных C_3 и C_5 .

3. Исследование решений в случае дозвукового соударения. Восстановление потенциалов φ , ψ из их фурье-образов (2.3) можно сделать только численным обращением преобразования Фурье. Однако качественная картина течения и анализ упругих напряжений в окрестности точки контакта могут быть получены непосредственно из формул (2.3) и (2.1).

Одно из наиболее существенных качественных отличий соударения пластин в упругой постановке от гидродинамической модели, приведенной в работе [1], заключается в том, что напряжения и смещения в упругой задаче имеют на бесконечности колебательный характер по оси x . Это связано с резонансным явлением, в котором нагрузка, движущаяся со скоростью V по поверхности упругой полосы толщиной h , порождает в данной пластине собственную упругую волну с фазовой скоростью, равной скорости нагрузки. Наличие упругих стоячих волн приводит к тому, что на некотором расстоянии от точки контакта появляются растягивающие напряжения. При сварке взрывом в том случае, когда величина разрывающих напряжений в шве будет достаточно велика, может произойти разрыв сформированного соединения. По-видимому, это явление можно связать с существованием «верхней границы» области сварки [9].

Обратимся теперь к исследованию поля упругих напряжений в окрестности точки контакта. Воспользовавшись соображением, что в задаче имеется только одна точка, где напряжения и скорости смещений могут иметь особенность, можно исследовать характер этой особенности, используя только высокочастотные гармоники преобразования Фурье. В результате для компонент тензора напряжений σ_{ij} , давления $p = -\frac{\sigma_{ii}}{3}$ и смещений берегов разреза $u(r)$ в окрестности точки контакта получим в полярных координатах следующие выражения:

$$\sigma_{11} = -\frac{2\mu a}{V} \operatorname{Re} \left\{ \frac{i\lambda_1 \lambda_2}{\sqrt{\cos \varphi + i\lambda_1 \sin \varphi}} - \frac{i\delta (2 - \delta + \lambda_2^2)}{\sqrt{\cos \varphi + i\lambda_2 \sin \varphi}} \right\};$$

$$\sigma_{22} = \frac{2\mu a}{V} \operatorname{Re} \left\{ \frac{i\lambda_1 \lambda_2}{\sqrt{\cos \varphi + i\lambda_1 \sin \varphi}} - \frac{i\delta^2}{\sqrt{\cos \varphi + i\lambda_2 \sin \varphi}} \right\};$$

$$\sigma_{12} = -\frac{2\mu a}{V} \operatorname{Im} \left(\frac{i\delta\lambda_2}{\sqrt{V \cos \varphi + i\lambda_1 \sin \varphi}} - \frac{i\delta\lambda_2}{\sqrt{V \cos \varphi + i\lambda_2 \sin \varphi}} \right);$$

$$p = -\rho V a \left(1 - \frac{4}{3} \frac{c_2^2}{c_1^2} \right) \operatorname{Re} \frac{i}{\sqrt{V \cos \varphi + i\lambda_2 \sin \varphi}};$$

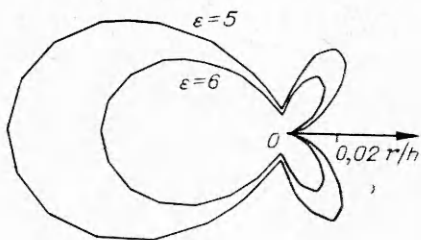
$$y(r) = \frac{\lambda_2(1-\delta)r a}{V};$$

$$a = \sqrt{\frac{U}{\rho h}} \frac{\sqrt{h|\lambda_1\lambda_2 - \delta^2|}}{(\delta^2 - \lambda_1\lambda_2)\sqrt{\pi\lambda_2 r}}, \text{ если } \lambda_1\lambda_2 > \delta^2;$$

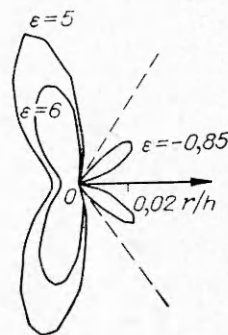
$$a = \frac{v_0 \cos(\gamma/2) \sqrt{h|\lambda_1\lambda_2 - \delta^2|}}{2(\delta^2 - \lambda_1\lambda_2)\sqrt{\pi\lambda_2 r}}, \text{ если } \lambda_1\lambda_2 < \delta^2.$$

Кривые постоянных безразмерных напряжений σ_{11} , σ_{22} , σ_{12} , давления p $\left(\varepsilon - \frac{\sigma_{ij}}{\sqrt{\frac{\rho V^2 U}{h}}} \right)$ приведены на фиг. 2—5 соответственно.

Заметим, что при скорости точки контакта, меньшей скорости релеевских волн в материале, смещение $y(r)$ отрицательно. Это означает, что берега разреза переклестываются между собой. Следовательно, точка

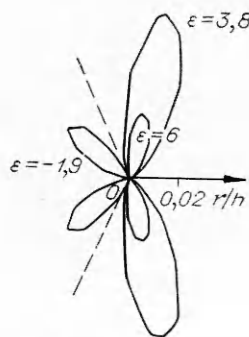


Фиг. 2

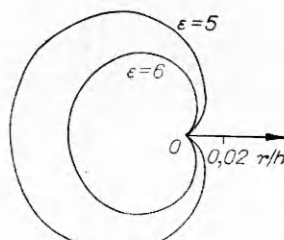


Фиг. 3

контакта не может двигаться с постоянной скоростью, меньшей скорости релеевских волн. По-видимому, скорость точки контакта будет совершать некоторые колебания около среднего значения, равного V .



Фиг. 4



Фиг. 5

Количественное сравнение упругой модели с ее гидродинамическим аналогом [1] можно получить, сопоставив коэффициенты интенсивностей давлений:

$$\frac{P_{\text{гидр}}}{P_{\text{упр}}} = \frac{\sqrt{\frac{\lambda_1 \lambda_2}{\delta^2} - 1}}{1 - \frac{4}{3} \frac{c_2^2}{c_1^2}}.$$

Автор благодарит А. А. Дерибаса, С. К. Годунова за руководство работой, Л. И. Слепяна за ценные советы и обсуждение.

Поступила 21 III 1974

ЛИТЕРАТУРА

1. *Дерибас А. А.* Физика упрочнения и сварки взрывом. Новосибирск, «Наука», 1972.
2. *Лаврентьев М. А.* Кумулятивный заряд и принципы его работы. УМН, 1957, т. 12, № 4.
3. *Babul W., Włodarczyk E.* On the conditions for the occurrence of the wave surface of metal bonding made by explosive technique. Proc. vibration problems, vol. 11, No 3, 1970.
4. *Слепян Л. И.* Нестационарные упругие волны. Л., «Судостроение», 1972.
5. *Гольдштейн Р. В., Матчинский М.* О стационарном движении трещины в полосе. МТТ, 1967, № 4.
6. *Нобл Б.* Метод Винера-Хопфа. М., ИЛ, 1962.
7. *Irwin G. R.* Analysis of stresses and strains near the end of a crack traversing a plate. J. Appl. Mech., 1957, vol. 24, p. 361—364.
8. *Гольдштейн Р. В.* Стационарное движение трещины в полосе. МТТ, 1968, № 2.
9. *Захаренко И. Д.* Критические режимы при сварке взрывом. ФГВ, 1972, № 3.